

FOLIEN VON D. GRAU ZUR
VORLESUNG "ELEKTRODYNAMIK
UND RELATIVITÄTSTHEORIE"
nach dem Skriptum von H. Nowotny

Kapitel 15

Skineffekt für $\delta \ll R$

$$E(\rho) = E(R) \frac{J_0\left(\frac{1+i}{\delta}\rho\right)}{J_0\left(\frac{1+i}{\delta}R\right)}, \quad J_0((1+i)\frac{\rho}{\delta}) \propto \frac{e^{i\rho}}{\delta} \quad \delta \rightarrow +\infty$$

\Rightarrow für jene ρ , für die $E(\rho)$ merklich von

null verschieden ist (Oberflächenschicht) gilt

$$E(\rho) \approx E(R) e^{-\frac{R-\rho}{\delta}} e^{i\frac{R-\rho}{\delta}} \quad (75)$$

Rechtfertigung der Bezeichnung
Eindringtiefe für δ

$$\Rightarrow E'(R) = \frac{1-i}{\delta} E(R)$$

$$\frac{E(R)}{E'(R)} = \frac{\delta}{1-i} = \frac{(1+i)\delta}{2}$$

$$\frac{Z(\omega)}{Z(0)} = -i \frac{R}{\delta^2} \frac{E(R)}{E'(R)} = \frac{1-i}{2} \frac{R}{\delta(\omega)} \quad (78)$$

Starke Erhöhung des Ohmschen Widerstandes
durch den Skineffekt und zusätzlicher
induktiver Widerstand (Zeitfaktor $e^{-i\omega t}$!)

$$\text{Kupfer: } \sigma \approx 5 \cdot 10^{17} \text{ S}^{-1} \Rightarrow \delta = \frac{7}{V_f} \text{ cm (f Frequenz)}$$

f	50 Hz	5 kHz	$0,5 \text{ MHz}$	50 MHz
δ	1 cm	1 mm	$0,1 \text{ mm}$	$0,01 \text{ mm}$

XV. INTERFERENZ UND BEUGUNG

ELEKTROMAGNETISCHER WELLEN

XV.1. Interferenzerscheinungen

XV. 1. A*: Intensität einer monochromatischen Welle. Interferenz von elm. Wellen

XV. 1. B: Wellenausbreitung im Vakuum oder in einem Medium mit $\epsilon = 0$, $\epsilon(\omega), \mu(\omega)$ reell
(ω aus Transparenzbereich) betrachtet

Definition: Intensität einer monochromatischen Welle

$$I(\vec{r}) = \langle |\vec{S}(\vec{r},t)| \rangle \quad (2)$$

$$\langle \dots \rangle \text{ Zeitmittel über Periode } T = \frac{2\pi}{\omega}$$

Satz: Für die Intensität einer (gewöhnlichen, d.h. homogenen) monochromatischen ebenen Welle

$$\vec{E}(\vec{r},t) = \vec{E}_0 e^{i(\vec{k} \cdot \vec{r} - \omega t)} + \text{cc.}$$

gilt

$I = \frac{c}{8\pi} \sqrt{\frac{\epsilon(\omega)}{\mu(\omega)}} 2\vec{E}_0 ^2$

(2a)

Beweis: Nach Abschnitt XVII. 1. C gilt für

$$\vec{E}(r,t) \times \vec{H}(r,t) = \vec{E}_0 e^{i(\vec{k} \cdot \vec{r} - \omega t)} + c.c.$$

XV-2

$$\frac{\vec{E}(r,t) \times \vec{H}(r,t)}{= \sqrt{\frac{\epsilon(\omega)}{\mu(\omega)}} (|\vec{E}_0|^2 + |\vec{E}_0|^2 e^{2i(\vec{k} \cdot \vec{r} - \omega t)} + c.c.) \vec{n}}$$

eine solche Welle

$$\vec{E}(r,t) = \vec{E}_0 e^{i(\vec{k} \cdot \vec{r} - \omega t)} + c.c.$$

$$\vec{H}(r,t) = \vec{H}_0 e^{i(\vec{k} \cdot \vec{r} - \omega t)} + c.c.$$

$$\text{mit } \vec{k} \text{ reeller Vektor}, \quad k^2 = \frac{\omega^2}{c^2} \epsilon(\omega) \mu(\omega)$$

$$\vec{k} \cdot \vec{E}_0 = 0$$

$$\vec{k} \times \vec{E}_0 = \frac{\omega}{c} \mu(\omega) \vec{H}_0$$

$$\text{Mit } \vec{k} = k \vec{n} = \frac{\omega}{c} \sqrt{\epsilon(\omega) \mu(\omega)} \vec{n}$$

\vec{n} reeller Einheitsvektor (Ausbreitungsrichtung)

folgt also

$$\vec{n} \cdot \vec{E}_0 = 0, \quad \vec{H}_0 = \sqrt{\frac{\epsilon(\omega)}{\mu(\omega)}} (\vec{n} \times \vec{E}_0)$$

$$\vec{E}(r,t) \times \vec{H}(r,t) = (\vec{E}_0 \times \vec{H}_0^*) + (\vec{E}_0 \times \vec{H}_0) e^{2i(\vec{k} \cdot \vec{r} - \omega t)}$$

$$\sqrt{\frac{\epsilon(\omega)}{\mu(\omega)}} [\vec{E}_0 \times (\vec{n} \times \vec{E}_0^*)] = \sqrt{\frac{\epsilon(\omega)}{\mu(\omega)}} |\vec{E}_0|^2 \vec{n}$$

$$\sqrt{\frac{\epsilon(\omega)}{\mu(\omega)}} \vec{E}_0^2 \vec{n}$$

XV-3

$$\frac{\vec{S}(r,t)}{= \frac{c}{4\pi} \sqrt{\frac{\epsilon(\omega)}{\mu(\omega)}} (|\vec{E}_0|^2 + |\vec{E}_0|^2 e^{2i(\vec{k} \cdot \vec{r} - \omega t)} + c.c.)}$$

"Map" für die Intensität ist also $|\vec{E}_0|^2$

Überlagerung von mehreren monochromatischen ebenen Wellen gleicher Frequenz und Ausbreitungsrichtung

$$\vec{E}(r,t) = \underbrace{\sum_{l=1}^N \vec{E}_0^{(l)} e^{i(\vec{k}_l \cdot \vec{r} - \omega_l t)}}_{\vec{E}_0} + c.c.$$

(3), (4)

$$\vec{E}_o = \sum_{\ell=1}^N \vec{E}_o^{(\ell)} \quad \Rightarrow \quad \text{XXV-4}$$

$$|\vec{E}_o|^2 = \sum_{\ell=1}^N \vec{E}_o^{(\ell)} \cdot \sum_{m=1}^N \vec{E}_o^{(m)*}$$

$$|\vec{E}_o|^2 = \alpha_1^2 + \alpha_2^2 + 2\alpha_1\alpha_2 \cos(\delta_1 - \delta_2)$$

$$I = I_1 + I_2 + 2\sqrt{I_1 I_2} \cos(\delta_1 - \delta_2)$$

$$\delta_1 - \delta_2 = 0, \pm 2\pi, \pm 4\pi, \dots :$$

$$I_{\max} = I_1 + I_2 + 2\sqrt{I_1 I_2}$$

$$\delta_1 - \delta_2 = \pm \pi, \pm 3\pi, \dots :$$

$$I = \sum_{\ell=1}^N I^{(\ell)} + \frac{\kappa}{2\pi} \sqrt{\frac{\epsilon(\omega)}{\mu(\omega)}} \sum_{\substack{\ell, m=1 \\ \ell < m}}^N (\vec{E}_o^{(\ell)} \cdot \vec{E}_o^{(m)*} + \text{c.c.})$$

$$> 0 \quad \text{Interferenzterm} \geq 0$$

Beispiel: 2 linear polarisierte Teilwellen

$$\vec{E}_o^{(\ell)} = \alpha_\ell e^{i\delta_\ell} \vec{e}_\ell \quad , \quad \ell=1,2$$

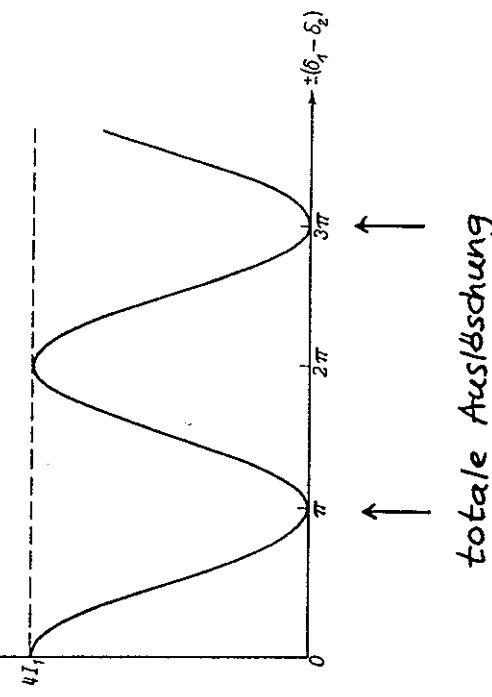
$$> 0$$

$$\Rightarrow |\vec{E}_o|^2 = \alpha_1^2 + \alpha_2^2 + 2\alpha_1\alpha_2 \cos(\delta_1 - \delta_2) \vec{e}_1 \cdot \vec{e}_2$$

Sonderfälle: 1) $\vec{e}_1 \perp \vec{e}_2$ keine Interferenz (7')

$$2) \vec{e}_1 = \vec{e}_2 = \vec{e}$$

$$|\vec{E}_o|^2 = \alpha_1^2 + \alpha_2^2 + 2\alpha_1\alpha_2 \cos(\delta_1 - \delta_2) \quad (7)$$



totale Auslöschung

XV. 1.B. Erzeugung von Interferenz = fähigen (kohärenten) elm. Wellen

Voraussetzung für (beobachtbare) Interferenz
sind feste Phasenbeziehungen der überlagernden

Wellen. Fluktuierten in einem Ausdruck wie

$$I = \sum_{\ell=1}^N I^{(\ell)} + \frac{c}{2\pi} \sqrt{\frac{\varepsilon(\omega)}{\mu(\omega)}} \sum_{\ell,m=1 \atop \ell < m}^N (\vec{E}_0^{(\ell)} \cdot \vec{E}^{(m)*} + c.c.)$$

die Phasen der Teilwellen rein statistisch, so

erhält man

$$I = \sum_{\ell=1}^N I^{(\ell)}$$

und man spricht von einer inkohärenten Überlagerung.

In der Rundfunk- und Mikrowellentechnik

(bis \approx mm-Wellen "herab") kann man durch
elektronische Steuerung der Sender erreichen,
dass elm. Wellen mit festen Phasenbeziehungen
erzeugt werden, die von verschiedenen Sendern
(Quellen) abgestrahlt werden.

XV-7 In der Laseroptik ist dasselbe durch stimulierte Emission von Lasern möglich.

ABER:

Konventionelle Lichtquellen emittieren rein
statistisch in Emissionsakten von $\Delta t \sim 10^{-9} - 10^{-8}$ s
endliche Wellenzeuge der Länge $\Delta l \sim 30 \text{ cm} - 3 \text{ m}$
(Δl Kohärenzlänge).

Bemerkung: Aus dem Fourierintegral folgt

$\Delta l \cdot \Delta k \gtrsim 1$, d.h. ein endlich langer Wellenzug
kann nur "fast monochromatisch" (quasimono =
chromatisch) sein. Ist $\Delta \omega$ die Breite der
spektralen Verteilung, so ist ein typischer Wert
von $\frac{\Delta \omega}{\omega}$ etwa

$$\frac{\Delta \omega}{\omega} \sim 10^{-6}.$$

"Überlagert man also in der konventionellen Optik
Licht von mehreren Quellen, so handelt es sich
stets um eine inkohärente Überlagerung.

Eine kohärente Überlagerung (Interferenz)
kann man nur erhalten, wenn man Licht einer
einzigem Lichtquelle benützt:

Durch Spiegelanordnungen, halbdurchlässige Spiegel, Reflexion an Platten und Keilen,
Schirmen mit Öffnungen etc. wird ein von
einer einzigen Lichtquelle stammendes
Lichtbündel in mehrere Teile zerlegt und
nach Zurücklegung verschiedener optischer
Wege (s. unten) $\int n ds$ wieder zusammen=
geführt (in Brechungsexponent).

Die feste Phasendifferenz ist dann durch
die optische Wegdifferenz bestimmt.
Damit aber Interferenz möglich ist, muss letztere
kleiner sein als die Kohärenzzeit Δt .

Optische Wegdifferenz

Gelangt Licht längs des Weges C von A nach B
und ist n der (möglicherweise längs C variable)
Brechungsexponent, so gilt

$$\begin{aligned} \text{Optische Wegdifferenz von A nach B längs } C \\ = \int_A^B n ds \end{aligned}$$

Phasendifferenz zweier interferierender
Wellenzüge bei der Interferenz

A ... Ort der Lichtquelle

B ... Ort an dem es zur Interferenz kommt

$$\delta_1 - \delta_2 = \frac{\omega}{c} \left(\int_A^B (f_1 ds - f_2 ds) \right)$$

Wie sieht man das einfach?

Ebene monochromatische Welle in x-Richtung betrachtet:

$$e^{i(\omega x - \omega t)} = e^{i \frac{\omega}{c} (nx - ct)}$$

($e^{-i\omega t}$ ändert sich für beide Wellenzüge gleich)

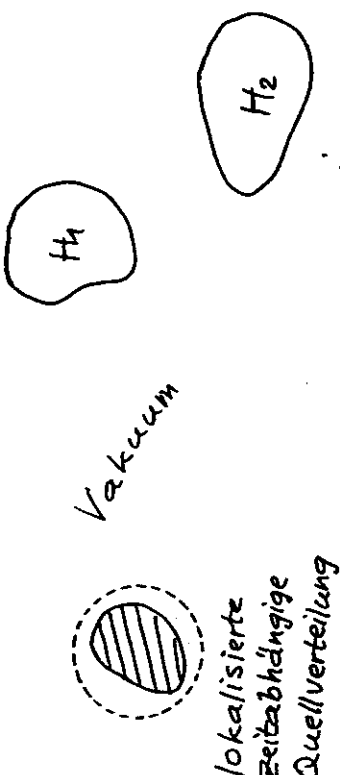
XV.2. Beugungstheorie

XV-11

Beugungsproblem in der Maxwelltheorie

a) im weiteren Sinn

Bestimmung des elm. Feldes einer lokalisierten zeitabhängigen Quellverteilung im Vakuum bei Anwesenheit undurchdringlicher Hindernisse.



Zu lösen:
lokalierte
zeitabhängige
Quellverteilung
undurchdringliche
Hindernisse
(ideale Leiter)
im Endlichen
Außenraum der Hindernisse

mit RB $B_n = 0$, $\vec{E}_{tg} = \vec{0}$ auf Oberflächen
der Hindernisse
und Abstrahlungsbedingung (asymptotisch
nur auslaufende Wellen*)

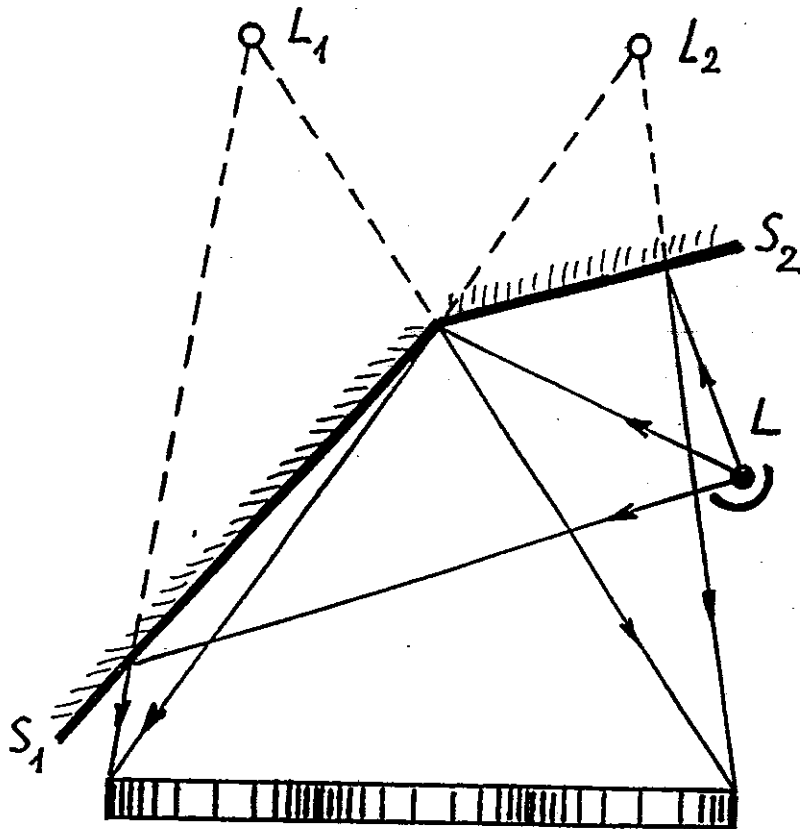


Fig. 15.1 Fresnelscher Spiegelversuch (durch die Spiegel S_1 bzw. S_2 wird die Lichtquelle L zu zwei scheinbaren Lichtquellen L_1 und L_2 , die kohärentes Licht aussenden)

XV-10

* Hier nicht angeschrieben; s. Stumpf / Schuler, Elektrodynamik, Vieweg 1973, Abschnitt 12.6.

Stationärer Fall

XIV-12

Quellen und Felder zeitlich harmonisch
(eingeschwüngeener Zustand)

Für den stationären Fall gibt es einen Existenz-
und Eindeutigkeitsatz sowie exakte Lösungen
für ein einziges kugelförmiges oder ein
einziges zylindrisches Hindernis.

b) im engeren Sinn

- Quelle = "Lichtquelle" (Strahlungsquelle)
d.h. Quellverteilung so weit von Hindernissen entfernt, daß im Bereich der Hindernisse nur mehr Wellenfeld (Strahlungsfeld) berücksichtigt werden muß
 - Lineardimensionen der Hindernisse und Abstände zwischen den Hindernissen groß gegen die Wellenlängen(n) der von der "Lichtquelle" emittierten Strahlung
- ⇒ "Lichtintensität" kann im Bereich der Hindernisse und "hinter" den Hindernissen in niedrigster Näherung nach den Gesetzen der geometrischen Optik berechnet werden

XIV-13

Aufgabe der Beugungstheorie ist dann die Berechnung der "Lichtintensität" in der Nähe der geometrischen Schattengrenzen, wo die geometrische Optik versagt und es zu typischen Interferenzmustern kommt.

Beugung im engeren Sinn: viele Näherungsverfahren wurden entwickelt.

Einfachstes Näherungsverfahren (neben Huygenseschem

Prinzip): Skalares Kirchhoffverfahren: anwendbar für ebene Beugungsschirme mit Öffnungen, Berechnung der "Lichtintensität" aus einer skalaren Feldfunktion ("Lichtamplitude").

Bemerkung: Unter den Annahmen der Beugung im engeren Sinn spielen Polarisationseffekte auf die Intensität keine merkliche Rolle, weshalb die Beschreibung durch Vektorfelder nicht unerlässlich ist. ●

XV. 2. A. Skalares Kirchhoffverfahren

$\mu(\vec{r}, t)$ "Lichterregung" (Feldfunktion) komplexwertig

FG in quellenfreien Raumgebieten (POSTULAT)

$$\square \mu(\vec{r}, t) = 0$$

(M) Stationärer Fall

zeitlich harmonische "Lichtquelle", eingeschwungener Zustand

$$\mu(\vec{r}, t) = \mu(\vec{r}) e^{-i\omega t} \quad (12)$$

"Lichtintensität" (POSTULAT)

$$I(\vec{r}) = |\mu(\vec{r})|^2$$

(H): in quellenfreien Raumgebieten

$$(\Delta + k^2) \mu(\vec{r}) = 0 \quad (13)$$

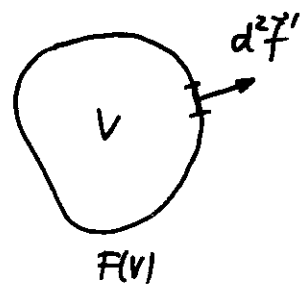
mit

$$k = \frac{\omega}{c} = \frac{2\pi}{\lambda}$$

Kirchhoffidentität

2. Greenscher Satz (s. Gl. (I. 12b))

$$\begin{aligned} & \int_V d^3 r' [\mu(\vec{r}') \Delta' \chi(\vec{r}') - \chi(\vec{r}') \Delta' \mu(\vec{r}')] \\ &= \oint_{F(V)} d^2 \vec{r}' \cdot [\mu(\vec{r}') \vec{\nabla}' \chi(\vec{r}') - \chi(\vec{r}') \vec{\nabla}' \mu(\vec{r}')] \end{aligned}$$



Wahl: $\mu(\vec{r}')$ "Lichterregung"

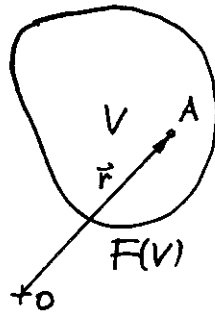
$\chi(\vec{r}') = G(\vec{r}, \vec{r}')$ irgendeine Greenfunktion des Helmholtzoperators
mit der Eigenschaft $G(\vec{r}', \vec{r}) = G(\vec{r}, \vec{r}')$, d.h.

$$(\Delta + k^2) G(\vec{r}, \vec{r}') = -4\pi \delta(\vec{r} - \vec{r}') \quad (14)$$

bzw.

$$(\Delta' + k^2) G(\vec{r}, \vec{r}') = -4\pi \delta(\vec{r} - \vec{r}')$$

$$\int_V d^3r' [\underbrace{\mu(r') \Delta' G(r, r') - G(r, r') \Delta' \mu(r')}_{-4\pi \delta(r-r') - k^2 G(r, r')} - \cancel{k^2 \mu(r')} \quad \text{VS: keine Quellen in } V] \\ = \oint_{F(V)} d^2\vec{r}' \cdot [\mu(r') \vec{\nabla}' G(r, r') - G(r, r') \vec{\nabla}' \mu(r')] \quad \begin{array}{c} \odot \\ L \end{array}$$



\Rightarrow für Punkte \vec{r} innerhalb des quellenfreien Volumens V gilt

$$\mu(r) = \frac{1}{4\pi} \oint_{F(V)} d^2\vec{r}' \cdot [G(r, \vec{r}') \vec{\nabla}' \mu(r') - \mu(r') \vec{\nabla}' G(r, \vec{r}')] \quad (15)$$

Wahl von Kirchhoff: Greenfunktion für den unendlichen Raum

$$G(\vec{r}, \vec{r}') = \frac{e^{ik|\vec{r}-\vec{r}'|}}{|\vec{r}-\vec{r}'|} \quad (16)$$

$$\Rightarrow \vec{\nabla}' G(\vec{r}, \vec{r}') = -ik \frac{e^{ik|\vec{r}-\vec{r}'|}}{|\vec{r}-\vec{r}'|} \left(1 + \frac{i}{k|\vec{r}-\vec{r}'|}\right) \frac{\vec{r}-\vec{r}'}{|\vec{r}-\vec{r}'|} \quad (16a)$$

Einsetzen gibt mit $d^2\vec{r}' = -\vec{n}' d^2f'$ die
Kirchhoffidentität

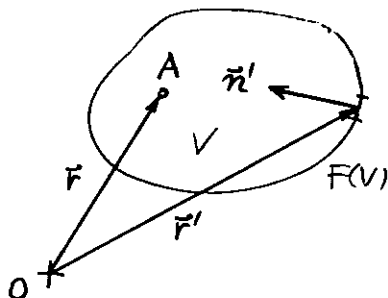
$$\mu(r) = -\frac{1}{4\pi} \oint_{F(V)} d^2\vec{f}' \frac{e^{ik|\vec{r}-\vec{r}'|}}{|\vec{r}-\vec{r}'|} \left[\frac{\partial \mu(\vec{r}')}{\partial n'} + ik \left(1 + \frac{i}{k|\vec{r}-\vec{r}'|}\right) \frac{\vec{n}' \cdot (\vec{r}-\vec{r}')}{|\vec{r}-\vec{r}'|} \mu(\vec{r}') \right] \quad (17)$$



Beachte:

$$e^{\frac{i(k|\vec{r}-\vec{r}'| - \omega t)}{|\vec{r}-\vec{r}'|}}$$

kann als Kugelwelle interpretiert werden, die vom Punkt \vec{r}' zum Aufpunkt \vec{r} "läuft": Huygens!



Jede Lösung der inhomogenen Helmholtzgleichung für eine beliebige Quellfunktion und beliebige RB und asymptotische Bdgn.

erfüllt für Punkte \vec{r} in einem quellenfreien Volumen V Gl. (17) identisch.
Deshalb Kirchhoffidentität!

Kirchhoffverfahren

XVII-18

Kirchoffs "Überlegung": "Wüßte ich für eine Beugungsanordnung die exakten Randwerte $\psi(r')$ und $\frac{\partial \psi(r')}{\partial n}$ auf einer geschlossenen Fläche F , in deren Innerem keine Lichtquelle ist, so könnte ich aus der Identität (77) die exakte

Lichterregung $\psi(r)$ für Aufpunkte im Inneren von F berechnen." (Stimmt ✓) Weiter:

"Gelingt es mir, aus physikalischen Überlegungen für die Randwerte von $\psi(r')$ und $\frac{\partial \psi(r')}{\partial n}$ gute Näherungswerte zu finden*, so wird das Einsetzen in die Identität (77) gute Näherungswerte für $\psi(r)$ für Aufpunkte im Inneren von F liefern." ("Wird" ist nicht gewährleistet, nur "kann".)

Bemerkung: Die Helmholtzgleichung gestattet nicht die simultane Vorgabe von Funktion und Normalableitung auf einer geschlossenen Oberfläche. (Überbestimmung). Ersetzt man die exakten Randwerte durch näherungsweise, so ist nicht

* d.h. Werte, die ich für gute Näherungswerte halte!

XV-19

gewährleistet, daß sich für Punkte im Inneren auch nur eine geringfügige Änderung ergibt, da auf Grund der Überbestimmung Stabilität nicht gewährleistet ist.
Darin besteht der "mathematische Mangel Nr. 1" des Kirchhoffverfahrens.

Kirchoffsche "Standardanordnung", für die Kirchhoff-Näherungsannahmen für die Randwerte angegeben hat, auf die daher das Kirchoffsche Verfahren anwendbar ist:
ebener undurchdringlicher Beugungsschirm (idealer Leiter) mit einer oder mehreren Öffnungen und der Lichtquelle auf einer Seite des Schirms; gesucht ist die Lichtintensität auf der anderen Seite des Beugungsschirms :



Lichtquelle

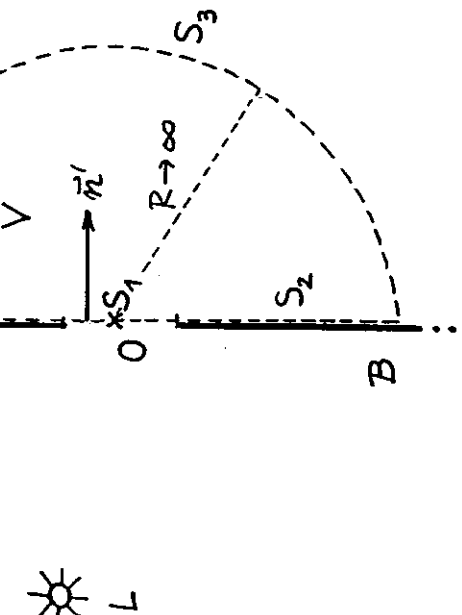
Lichtintensität ?

Kirchhoffsche Näherungsannahmen

XV-20

Bemerkungen:

1) In den Abbildungen wird immer nur eine Öffnung gezeichnet, es können aber auch mehrere Öffnungen vorhanden sein.



2) Ist d die Lineardimension der Öffnung, so muss

$$d \gg \lambda$$

gelten (Beugungsproblem im engeren Sinn!)

Unter dieser VS ist die Kirchhoffsche Annahme 1 physikalisch plausibel. Eine merkliche Abweichung von den "ungestörten" Werten ist nur in einer kleinen Randzone der Öffnung zu erwarten.

1) S_1 (Öffnung): für $\mu(F')$, $\frac{\partial \mu(F')}{\partial n'}$ werden jene Werte genommen, die dort vorliegen würden, wenn es überhaupt keinen Beugungsschirm gäbe (ungestörte von L einfallende Welle)

2) S_2 (unmittelbar hinter dem undurchdringlichen Schirmteil): es wird $\mu(F') = 0$, $\frac{\partial \mu(F')}{\partial n'} = 0$ gesetzt

3) S_3 (Halbkugelfläche mit $R \rightarrow \infty$):
 $\mu(F') \underset{r' \rightarrow \infty}{\sim} f(\vartheta, \varphi') \frac{e^{i k r'}}{r'}$

XV-21

XV-21

Bemerkungen:

1) In den Abbildungen wird immer nur eine Öffnung gezeichnet, es können aber auch mehrere Öffnungen vorhanden sein.

2) Ist d die Lineardimension der Öffnung, so muss

$$d \gg \lambda$$

gelten (Beugungsproblem im engeren Sinn!)

Unter dieser VS ist die Kirchhoffsche Annahme 1 physikalisch plausibel. Eine merkliche Abweichung von den "ungestörten" Werten ist nur in einer kleinen Randzone der Öffnung zu erwarten.

3) Sind mehrere Öffnungen vorhanden, so muss die Lineardimension jeder Öffnung $\gg \lambda$ sein und auch die Abstände der Öffnungen müssen $\gg \lambda$ sein.

4) Die "unproblematischste" Annahme ist 3. Sie ersetzt die Abstrahlungsbedingung der MX-Theorie.

5) Auch die Annahme 2 ($\mu = 0$, $\frac{\partial \mu}{\partial n'} = 0$ auf S_2 , d.h. unmittelbar hinter dem undurchlässigen Schirmteil) leuchtet physikalisch

ein:

ABER: Mathematisch ist diese Annahme mit der Helmholtzgleichung nicht verträglich:
"mathematischer Mangel Nr. 2 des Kirchhoffverfahrens".

Ist nämlich $\mu(F)$ und $\frac{\partial \mu(F)}{\partial n'}$ auf einem beliebigen endlichen Teilstück von $F(V)$ null und ist μ Lösung der Helmholtzgleichung, so folgt $\mu(F) \equiv 0$ für $\forall F$ in V !

Trotz der mathematischen Inkonsistenzen erhält man aber mit dem Kirchhoffverfahren Ergebnisse, die mit dem Experiment sehr gut übereinstimmen.

"Verstehen" kann man das insofern, als ein modifiziertes Kirchhoffverfahren, das die "mathematischen Mängel Nr. 1, 2" des originalen Kirchhoffverfahrens nicht aufweist, praktisch dieselben Ergebnisse liefert: s. Jackson Abschnitt 3.8

Man setzt dabei in Gl. (15) nicht die Greensche Funktion für den unendlichen Raum, sondern die Dirichletsche Greenfunktion $G_D(F, F')$ ein und

erhält als modifizierte Kirchhoffidentität

$$\mu(F) = \frac{1}{4\pi} \oint d^2F' \mu(F') \frac{\partial G_D(F, F')}{\partial n'}$$

"mathematisches Annahmen 1), 2) können dann durch entsprechende Annahmen für $\mu(F')$ allein ersetzt werden, sodass die mathematischen Inkonsistenzen beseitigt sind! S. auch Folie XV-29!"

Einsetzen der Kirchhoffschen Annahmen in die Kirchhoffidentität

$$\oint_{F(V)} = \int_{S_1} + \int_{S_2} + \int_{S_3}$$

wie $\frac{1}{R}$ gegen null wegen 3)

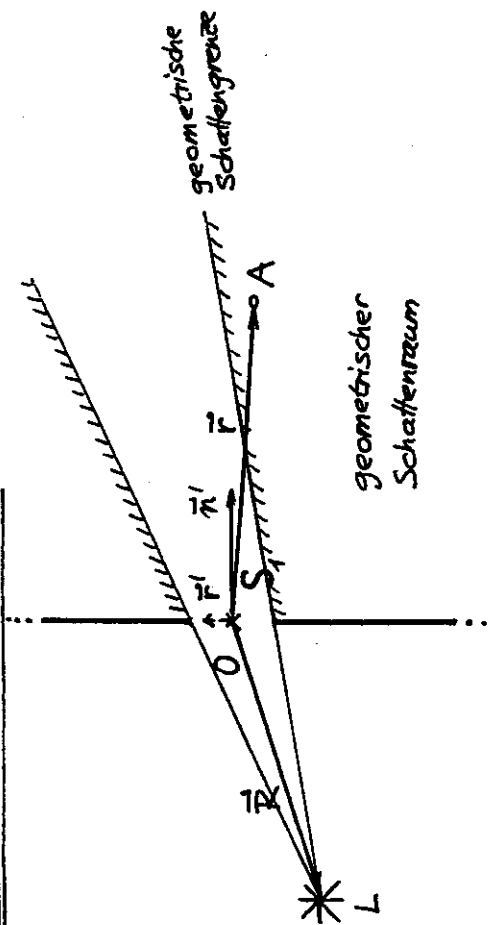
Beweis: nächste Seite

$$\mu_0(F'), \frac{\partial \mu_0(F')}{\partial n'}$$

einsetzen!

Für Punkte r' auf S_3 gilt für $R = r' \rightarrow \infty$:

$$\begin{aligned}
 & \frac{e^{ik|\vec{F}-\vec{F}'|}}{|\vec{F}-\vec{F}'|} \left\{ -\underbrace{\frac{\partial u(\vec{r}')}{\partial n'}}_{\frac{\partial u(\vec{r}')}{\partial r'}} - ik \left(1 + \frac{i}{k|\vec{r}-\vec{r}'|}\right) \underbrace{\frac{\vec{n}' \cdot (\vec{r}-\vec{r}')}{|\vec{r}-\vec{r}'|} u(\vec{r}')}_{-\frac{\vec{r}'}{r'} \cdot (\vec{r}-\vec{r}')} \right\} \frac{d^2 f'}{r'^2 d\Omega'} \\
 & \quad - \frac{\vec{r}'}{r'} \cdot (\vec{r}-\vec{r}') \\
 & \quad \overline{f(\Omega') \frac{e^{ikr'}}{r'} + O\left(\frac{1}{r'^2}\right)} \\
 & \sim_{r' \rightarrow \infty} \frac{e^{ikr'}}{r'} \left\{ \left(ik - \frac{1}{r'}\right) f(\Omega') \frac{e^{ikr'}}{r'} + O\left(\frac{1}{r'^3}\right) - ik \left(1 + \frac{i}{kr'}\right) \left[f(\Omega') \frac{e^{ikr'}}{r'} + O\left(\frac{1}{r'^2}\right) \right] \right\} r'^2 d\Omega' \\
 & \sim_{r' \rightarrow \infty} \frac{e^{ikr'}}{r'} \underbrace{O\left(\frac{1}{r'^2}\right) r'^2 d\Omega'}_{O(1)} \quad \checkmark \quad \frac{ik - \frac{1}{r'}}{bekannt} \\
 & \rightarrow \boxed{u(\vec{r}) = -\frac{1}{4\pi} \int_{S_1} d^2 f' \frac{e^{ik|\vec{F}-\vec{F}'|}}{|\vec{F}-\vec{F}'|} \left[\frac{\partial u_0(\vec{F}')}{\partial n'} + ik \left(1 + \frac{i}{k|\vec{r}-\vec{r}'|}\right) \frac{\vec{n}' \cdot (\vec{F}-\vec{F}')}{|\vec{r}-\vec{F}'|} u_0(\vec{F}') \right]} \quad \text{bekannt}
 \end{aligned}$$



Damit "Lichterregung" im Punkt \vec{r}' der Öffnung (und in infinitesimaler Umgebung) gemäß Kirchhoffannahme 1)

$$\mu_0(F') = A_0 \frac{e^{ik|\vec{R}-\vec{r}'|}}{|\vec{R}-\vec{r}'|}$$

$$\Rightarrow \frac{\partial u_0(\vec{r}')}{\partial n'} = \vec{n}' \cdot \text{grad}' u_0(\vec{r}') \quad (19a)$$

$$= A_0 \frac{e^{ik/|\vec{R}-\vec{r}'|}}{|\vec{R}-\vec{r}'|} \underbrace{\left(-ik + \frac{1}{|\vec{R}-\vec{r}'|} \right)}_{(-ik) \left(1 + \frac{i}{k|\vec{R}-\vec{r}'|} \right)}$$

$$u(\vec{r}) = -\frac{i k}{4\pi} A_0 \int_{S_1} d^2 f' \frac{e^{ik|\vec{r}-\vec{r}'|}}{|\vec{r}-\vec{r}'|} \frac{e^{ik|\vec{R}-\vec{r}'|}}{|\vec{R}-\vec{r}'|} \cdot \\ \bullet \left[\left(1 + \frac{i}{k|\vec{r}-\vec{r}'|}\right) \frac{\vec{n} \cdot (\vec{r}-\vec{r}')}{|\vec{r}-\vec{r}'|} - \left(1 + \frac{i}{k|\vec{R}-\vec{r}'|}\right) \frac{\vec{n} \cdot (\vec{R}-\vec{r}')}{|\vec{R}-\vec{r}'|} \right] \quad (20)$$

\Rightarrow Reziprozitätssatz der Kirchhoffschen Beugungstheorie

Setzt man die Lichtquelle in den Punkt \vec{r} , so "erzeugt" sie im Punkt \vec{R} die gleiche Intensität $I = |u|^2$ wie die im Punkt \vec{R} befindliche Lichtquelle im Punkt \vec{r} "erzeugt".

Kirchhoffsche Beugungsformel

Weitere Annahmen: (A1) $R \gg d$ und $r \gg d$

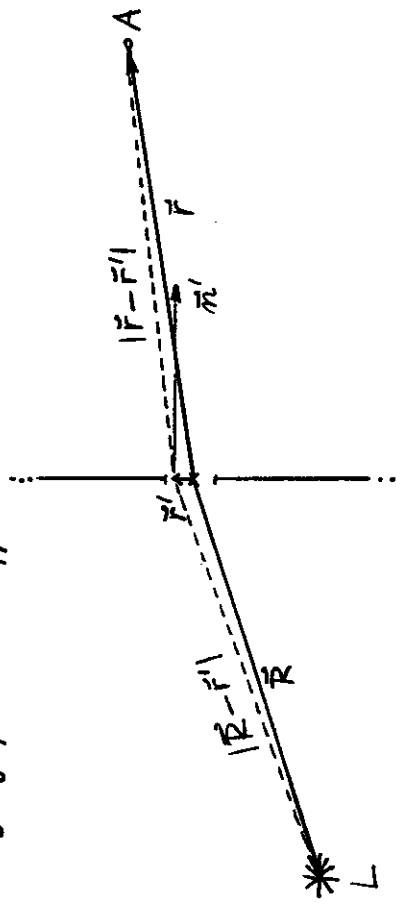
(A2) Beschränkung auf Aufpunkte \vec{r} , welche nicht bzw. nicht zu weit im geometrischen Schattenraum liegen

Beachte: $d \gg \lambda$ wurde schon bisher vorausgesetzt.

$$\frac{1}{1 + \frac{i}{2\pi} \frac{\lambda}{|\vec{R}-\vec{r}'|}} = 1 + \frac{i}{2\pi} \frac{\lambda}{|\vec{R}-\vec{r}'|} \approx 1 \quad (21)$$

$$\frac{1 + \frac{i}{2\pi} \frac{\lambda}{|\vec{r}-\vec{r}'|}}{1 + \frac{i}{2\pi} \frac{\lambda}{|\vec{R}-\vec{r}'|}} = 1 + \frac{i}{2\pi} \frac{\lambda}{|\vec{r}-\vec{r}'|} \frac{\lambda}{|\vec{R}-\vec{r}'|} \approx 1$$

für alle Punkte \vec{r}' der Öffnung und alle ins Auge gefassten Aufpunkte \vec{r}



- 2) Wegen $d \gg \lambda$ variieren $|\vec{R}-\vec{r}'|$, $|\vec{r}-\vec{r}'|$ über die Öffnung um viele Wellenlängen, sodass $e^{ik|\vec{R}-\vec{r}'|}$, $e^{-ik|\vec{r}-\vec{r}'|}$ ($k = \frac{2\pi}{\lambda}$) über die Öffnung stark oszillieren,
- wogegen im Integral die Faktoren $\frac{1}{|\vec{R}-\vec{r}'|}$, $\frac{1}{|\vec{r}-\vec{r}'|}$ gesetzt werden können.
- $$\frac{1}{|\vec{R}-\vec{r}'|} \approx \frac{1}{R}, \quad \frac{1}{|\vec{r}-\vec{r}'|} \approx \frac{1}{r}$$

Analog kann für r' in der Öffnung

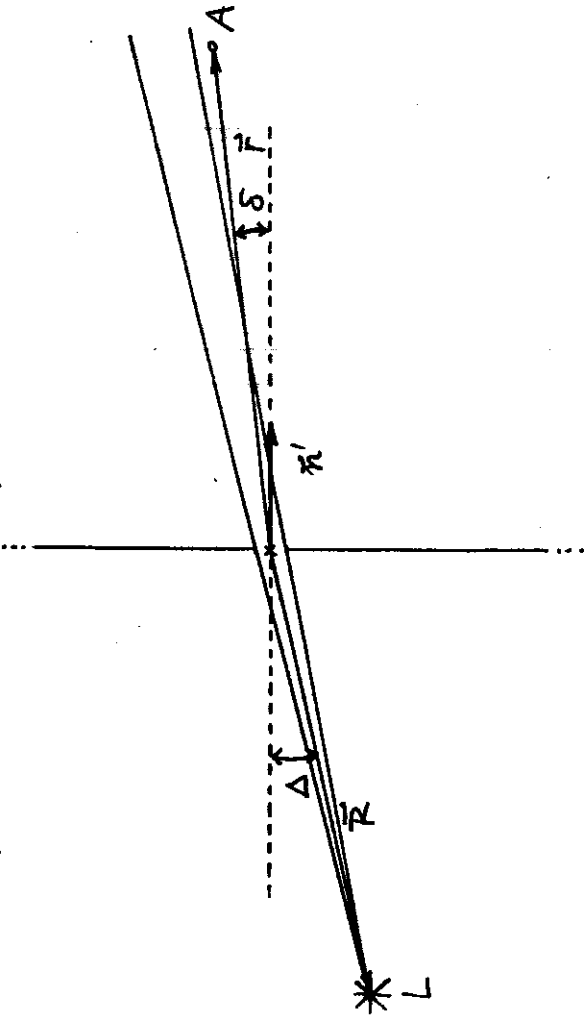
$$\frac{\tilde{n}' \cdot (\vec{R} - \vec{F}')}{|\vec{R} - \vec{F}'|} \approx \frac{\tilde{n}' \cdot \vec{R}}{R}, \quad \frac{\tilde{n}' \cdot (\vec{F} - \vec{F}')}{|\vec{F} - \vec{F}'|} \approx \frac{\tilde{n}' \cdot \vec{r}}{r}$$

gesetzt werden.

Wegen der Beschränkung auf Aufpunkte A,
welche nicht im geometrischen Schattenraum
bzw. nicht weit im geometrischen Schattenraum
liegen, gilt üblicherweise

$$\frac{\tilde{n}' \cdot \vec{r}}{r} \approx -\frac{\tilde{n}' \cdot \vec{R}}{R} \quad (23)$$

(d.h. $\cos \delta \approx \cos \Delta$)



Zusammenfassung:

$$u(\vec{r}) = -\frac{ik}{4\pi} A_0 \int_{S_1} d^2 f' \frac{e^{ik|\vec{F} - \vec{F}'|}}{|\vec{F} - \vec{F}'|} \frac{e^{ik|\vec{R} - \vec{F}'|}}{|\vec{R} - \vec{F}'|}$$

aus Integral

$$\cdot \left[\underbrace{\left(1 + \frac{i}{k|\vec{F} - \vec{F}'|} \right)}_{1} \underbrace{\frac{\tilde{n}' \cdot (\vec{F} - \vec{F}')}{|\vec{F} - \vec{F}'|}}_{\frac{\tilde{n}' \cdot \vec{r}}{r}} - \underbrace{\left(1 + \frac{i}{k|\vec{R} - \vec{F}'|} \right)}_{1} \underbrace{\frac{\tilde{n}' \cdot (\vec{R} - \vec{F}')}{|\vec{R} - \vec{F}'|}}_{-\frac{\tilde{n}' \cdot \vec{F}}{r}} \right]$$

aus Integral

$$2 \tilde{n}' \cdot \frac{\vec{F}}{r}$$

Bemerkung:
Formel (24)
wird auch
mit dem
modifizierten
Kirchhoffverf.
erhalten!

Kirchhoffsche
Beugungsformel

$$u(\vec{r}) = -\frac{ik}{2\pi} \left(\tilde{n}' \cdot \frac{\vec{r}}{r} \right) \frac{A_0}{rR} \int_{S_1} d^2 f' e^{ik(|\vec{F} - \vec{F}'| + |\vec{R} - \vec{F}'|)}$$

(24)

XV. 2.B. Komplementäre Beugung =

Was hat man davon?

Schirme . Babinettsches Theorem

Definition: Zwei Beugungsschirme B_1, B_2 heißen komplementär, wenn B_2 undurchdringlich ist, wo B_1 eine Öffnung besitzt, und dort eine Öffnung hat, wo B_1 undurchdringlich ist.

Die folgenden Aussagen gelten im Rahmen der

skalaren Kirchhofftheorie unter der allgemeinen

VS $d \gg \lambda$ und den Kirchhoff'schen Annahmen 1), 2), 3),

aber ohne weitere Annahmen (etwa bzgl. $r, \frac{r}{\rho}$),

d.h. unter Zugrundelegung von Gl. (18):

$$u(\vec{r}) = -\frac{1}{4\pi} \int_{S_1} d^2 f' e^{ik|\vec{r}-\vec{r}'|} \left[\frac{\partial u_0(\vec{r}')}{\partial n'} \right]$$

$$u_2(\vec{r}) + ik \left(1 + \frac{i}{k|\vec{r}-\vec{r}'|} \right) \frac{\vec{n}' \cdot (\vec{r}-\vec{r}')} {|\vec{r}-\vec{r}'|} u_0(\vec{r}')$$

Aus dieser Beziehung und der Kirchhoffidentität

für u_0 (Gl. (17)) mit $u=u_0$) folgt das

Babinettsche

Theorem (25)

$$u_0(\vec{r}) = u_1(\vec{r}) + u_2(\vec{r})$$

ohne für Schirm B_1 für komplementären Schirm B_2 Beugungsschirm

Eine Aussage erhält man daraus immer dann, wenn in einer Situation für den Aufpunkt A mit dem Ortsvektor \vec{r} eine der 3 Größen $u_0(\vec{r}), u_1(\vec{r}), u_2(\vec{r})$ null ist.

Beispiel 1: Angenommen hinter dem Schirm B_1 sei am Aufpunkt \vec{r} die "Lichterregung" u_1 null:

$$u_1(\vec{r}) = 0 \quad (\vec{r} \text{ fester Aufpunkt})$$

$$\Rightarrow u_2(\vec{r}) = u_0(\vec{r}) , \quad I_2(\vec{r}) = I_0(\vec{r})$$

D.h.: Stellt man statt B_1 den komplementären Schirm B_2 auf, so hat man im betreffenden Aufpunkt \vec{r} eine bestimmte Intensität $I_2(\vec{r})$. Entfernt man B_2 , so ändert sich die Intensität in diesem Aufpunkt nicht!

Beispiel 2: Das von einer Lichtquelle ausgehende Licht wird durch eine "Vorblende" auf einen bestimmten Raumwinkel eingeschränkt.

Die Öffnung der "Vorblende" sei so groß, dass die Beugung vernachlässigt werden kann, und man dementsprechend auf einem Aufänger eine scharf ausgeleuchtete Fläche hat (geometrischer Schatten ohne beobachtbare Interferenzen).

XV. 2. C. FraunhoferbeugungKirchhoffsche Beugungsformel (24):

$$\mu(\vec{r}) = -\frac{i\kappa}{2\pi} (\vec{n} \cdot \vec{F}) \frac{A_0}{rR} \int_S d^2 f' e^{ik(|\vec{r}-\vec{r}'| + |\vec{R}-\vec{r}'|)}$$

Wurde unter den Annahmen

$$R, r \gg d \gg \lambda$$

$$A \cdot -\mu_0(\vec{r}) = 0$$

Aufpunkt A im geometrischen Schattenraum der Vorblende: "Vorblende"

Auffänger

$$\Rightarrow \mu_1(\vec{r}) = -\mu_2(\vec{r})$$

$$I_1(\vec{r}) = I_2(\vec{r}), \quad \forall \vec{r} \text{ im geometrischen}$$

Schattenraum der Vorblende

\Rightarrow gleiches Beugungsmuster auf dem Auffänger im Schattenbereich der Vorblende, wenn man in die Öffnung der Vorblende einmal einen Beugungsschirm B_1 und einmal den dazu komplementären Schirm B_2 einsetzt; z.B.

$$B_1 \quad | \quad V \quad | \quad B_2$$

abgeleitet. Unter diesen Annahmen ist aber auch eine Entwicklung von $|\vec{R}-\vec{r}'|$, $|\vec{r}-\vec{r}'|$ für Punkte der Öffnung nach Potenzen von $\frac{r'}{R}$ bzw. $\frac{r}{R}$ möglich:

$$|\vec{R}-\vec{r}'| = \sqrt{(\vec{R}-\vec{r}')^2} = \sqrt{R^2 - 2\vec{R}\cdot\vec{r}' + r'^2} \quad \text{gibt}$$

$$|\vec{R}-\vec{r}'| = R - \frac{\vec{R} \cdot \vec{r}'}{R} + \frac{R^2 r'^2 - (\vec{R} \cdot \vec{r}')^2}{2R^3} + \dots \quad (27)$$

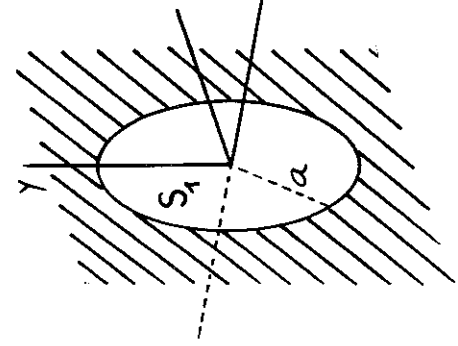
und analog

$$|\vec{r}-\vec{r}'| = r - \frac{\vec{r} \cdot \vec{r}'}{r} + \frac{r^2 r'^2 - (\vec{r} \cdot \vec{r}')^2}{2r^3} + \dots \quad (27)$$

Fraunhoferbeugung

Definition: Von Fraunhoferbeugung spricht man, wenn es genügt, in den Entwicklungen (27), (27) die ersten zwei Terme zu berücksichtigen.

Beachte: Die Erfüllung der Beding. (*) reicht dafür nicht aus! Es muß dafür mehr erfüllt sein, u. zwar

Kreisöffnung

Annahme: Lichtquelle auf der
z-Achse \Rightarrow axiale Symmetrie
bzw. z-Achse

Auffänger parallel zur Schmiedebene
 \Rightarrow es genügt, die Intensität
für Punkte in Richtungen

$$\frac{F}{r} = (\alpha, 0, \rho) \text{ zu berechnen}$$

$$\vec{r}' = (0, 0, 1), d^2f' = \rho' d\rho' d\varphi', S_1 \dots z' = 0$$

$$\rho' \in [0, 2\pi], \varphi' \in [0, \alpha]$$

$$\cdot \frac{\vec{r}}{r} = \gamma \approx 1$$

$$\left(\frac{\vec{r}}{r} + \frac{\vec{R}}{R} \right) \cdot \vec{r}' \Big|_{z'=0} = \alpha x' = \alpha \rho' \cos \varphi'$$

$$u(r) = -\frac{i k}{2\pi} A_0 \underbrace{\frac{e^{i k r}}{R} \frac{e^{i k r}}{r} \int_0^{\alpha} d\rho' \rho' \int_0^{2\pi} d\varphi' e^{-ik\varphi' \cos \varphi'}}_{{}^2 \text{ analog wie bei Rechtecks=}} \quad (32a)$$

$| \dots |^2$ Öffnung \approx konst.

$$\int_0^{\infty} d\eta \eta J_0(\eta) = \int_0^{\infty} J_1(\xi) \frac{2\pi \alpha \rho'}{\lambda} \quad (32b)$$

Die Intensität ist null entlang der zur y-Achse

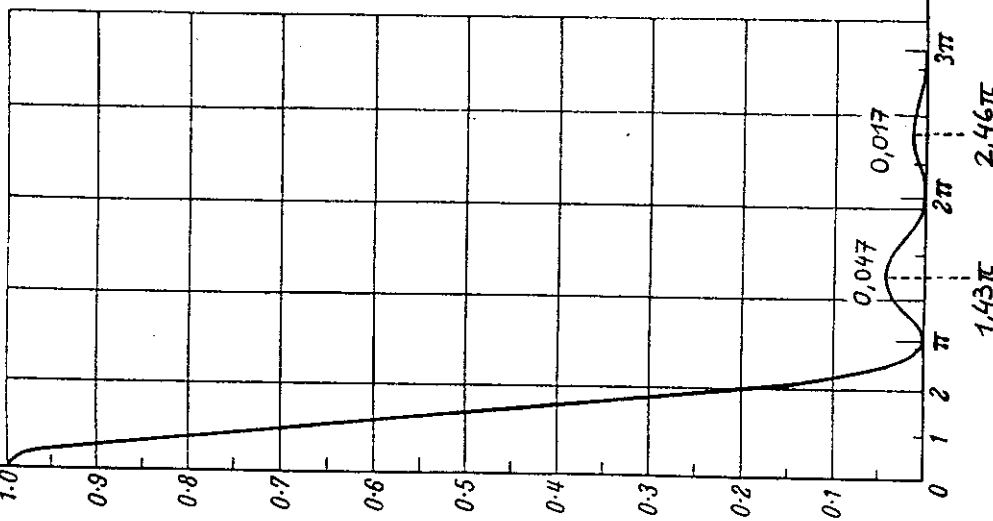
parallel Linien

$\frac{\pi \alpha}{\lambda} = n_1 \pi$ bzw. $\frac{x}{r} = \alpha = n_1 \frac{\lambda}{\alpha}, n_1 = \pm 1, \pm 2, \dots$
und entlang den zur x-Achse parallelen Linien
 $\frac{y}{r} = \beta = n_2 \frac{\lambda}{b}, n_2 = \pm 1, \pm 2, \dots$

Intensitätsverlauf auf Auffänger

$$I(\alpha) = C \left(\frac{2J_1\left(\frac{2\pi \alpha \alpha}{\lambda}\right)}{\frac{2\pi \alpha \alpha}{\lambda}} \right)^2 \quad (33)$$

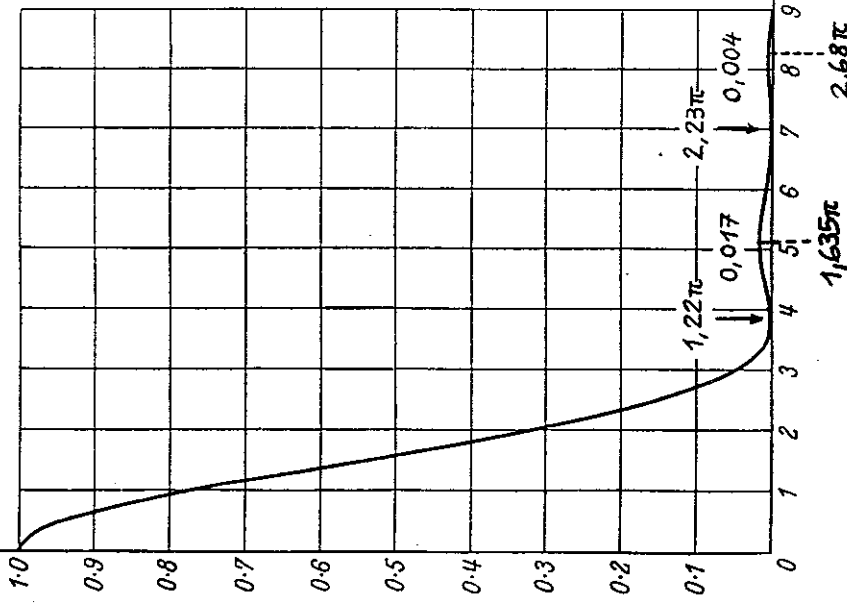
$$\left(\frac{\sin \xi}{\xi} \right)^2$$



s. das
Beugungsbild
Seite XV-43

XV. 2. D. Fresnelbeugung

$$\left(\frac{2J_1(\xi)}{\xi}\right)^2$$



1. Intensitätsminimum bei

$$\frac{2\pi\alpha\alpha}{\lambda} = 1,22\pi \quad \text{bzw.} \quad \frac{x}{r} = \alpha = 0,61 \frac{\lambda}{\alpha}$$

S. das Beugungsbild Seite XV - 43

Definition: Von Fresnelbeugung spricht man, wenn in den Entwicklungen (27'), (27) die ersten drei Terme berücksichtigt werden müssen.

Fresnelbeugung liegt vor, wenn zwar

$$R, r \gg d \gg \lambda$$

erfüllt ist, Lichtquelle und Aufpunkt aber nicht so weit von der Schirmöffnung weg sind, wie dies für Fraunhoferbeugung verlangt wurde. (D.h., dass $\frac{R}{d}, \frac{r}{d} \gg \frac{d}{\lambda}$ nicht erfüllt ist.)

Man hat dann in die Kirchhoff'sche Beugungsformel (24) im Integranden

$$|\vec{r} - \vec{r}'| + |\vec{R} - \vec{r}'| \approx r + R - \frac{\vec{r} \cdot \vec{r}'}{r} - \frac{\vec{R} \cdot \vec{r}'}{R} \\ + \frac{r^2 r'^2 - (\vec{r} \cdot \vec{r}')^2}{2r^3} + \frac{R^2 r'^2 - (\vec{R} \cdot \vec{r}')^2}{2R^3} \quad (34)$$

einsetzen.

Fresnelbeugung

$$u(r) = -\frac{i\kappa}{2\pi} A_0 \frac{e^{i\kappa r}}{R} \left(\vec{n}' \cdot \vec{E} \right) \quad (33a)$$

$$\bullet \int d^2 r' e^{-ik\left(\frac{r}{R} + \frac{\vec{R}}{R}\right) \cdot \vec{r}'} e^{ik\left(\frac{1}{2r} + \frac{1}{2R}\right)r'^2} e^{-ik\left(\frac{(\vec{r} \cdot \vec{r}')^2}{2r^3} + \frac{(\vec{R} \cdot \vec{r}')^2}{2R^3}\right)} S_1 \quad (35)$$

Fresnelbeugung: auch für geometrisch einfache

Aufnahmen (Rechtecke, Kreis)

sehr kompliziert

Einfaches Beispiel:

Kreisöffnung

Annahmen:

1) Lichtquelle auf der z-Achse

2) Aufpunkt auf der z-Achse

$$\text{für } r, R \gg a \gg \lambda$$

$$I(r) = |A_0|^2 \left(\frac{2 \sin \frac{\pi a^2 (r+R)}{2\lambda r R}}{r+R} \right)^2 \quad (37)$$

$$\frac{\pi a^2 (r+R)}{2\lambda r R} = m\pi \quad \text{bzw. } a^2 \frac{r+R}{r R} = 2m\lambda, m \in \mathbb{N}$$

$$\Rightarrow I(r) = 0 \quad \text{Dunkelheit}$$

Beachte:

$$1) \text{Es dürfen natürlich für gegebenes } R, a \text{ mit } R \gg a \gg \lambda \text{ nur solche } m \in \mathbb{N} \text{ eingesetzt werden, für welche } r \gg a \text{ erfüllt ist.}$$

$$2) \text{Unter den Bedingungen der Fraunhoferbeugung gilt}$$

$$0 < \frac{\pi a^2 (r+R)}{2\lambda r R} = \frac{\pi}{2} \frac{a}{\lambda} \left(\frac{a}{r} + \frac{a}{R} \right) \ll \frac{\pi}{2} \Rightarrow I(r) \neq 0.$$

$$\vec{r} = (0, 0, r), \quad \underline{u(\vec{r})} = u(r)$$

$$u(r) = -\frac{i\kappa}{2\pi} A_0 \frac{e^{i\kappa r}}{R} \frac{e^{i\kappa r}}{r} \int_{S_1} d^2 p' e^{i\kappa (\frac{1}{2r} + \frac{1}{2R}) p'^2} \quad (36)$$

$$d^2 p' = p' d p' d \varphi', \quad S_1 \dots z' = 0, \quad p' \in [0, 2\pi], \varphi' \in [0, \alpha]$$

$$u(r) = -i\kappa A_0 \frac{e^{i\kappa R}}{R} \frac{e^{i\kappa r}}{r} \int_0^\alpha d \varphi' p' e^{i\kappa (\frac{1}{2r} + \frac{1}{2R}) p'^2}$$

$$\frac{1}{i\kappa (\frac{1}{r} + \frac{1}{R})} \left(e^{i\kappa (\frac{1}{2r} + \frac{1}{2R}) \alpha^2} - 1 \right)$$

XV-40

$$u(r) = -A_0 \frac{e^{i\kappa(r+R)}}{r+R} \frac{p' R}{r+R} \left(e^{i\kappa \frac{p' R}{2rR} \alpha^2} - 1 \right) \quad \text{XV-41}$$

$$|e^{i\frac{\pi}{2}} - 1|^2 = 4 \sin^2 \frac{\pi}{2}$$

Intensitätsverlauf längs der z-Achse

$$I(r) = |A_0|^2 \left(\frac{2 \sin \frac{\pi a^2 (r+R)}{2\lambda r R}}{r+R} \right)^2$$

$$\frac{\pi a^2 (r+R)}{2\lambda r R} = m\pi \quad \text{bzw. } a^2 \frac{r+R}{r R} = 2m\lambda, m \in \mathbb{N}$$

$$\Rightarrow I(r) = 0 \quad \text{Dunkelheit}$$

Beachte:

$$1) \text{Es dürfen natürlich für gegebenes } R, a \text{ mit } R \gg a \gg \lambda \text{ nur solche } m \in \mathbb{N} \text{ eingesetzt werden, für welche } r \gg a \text{ erfüllt ist.}$$

$$2) \text{Unter den Bedingungen der Fraunhoferbeugung gilt}$$

$$0 < \frac{\pi a^2 (r+R)}{2\lambda r R} = \frac{\pi}{2} \frac{a}{\lambda} \left(\frac{a}{r} + \frac{a}{R} \right) \ll \frac{\pi}{2} \Rightarrow I(r) \neq 0.$$

Fresnel'sche Zonenlinse

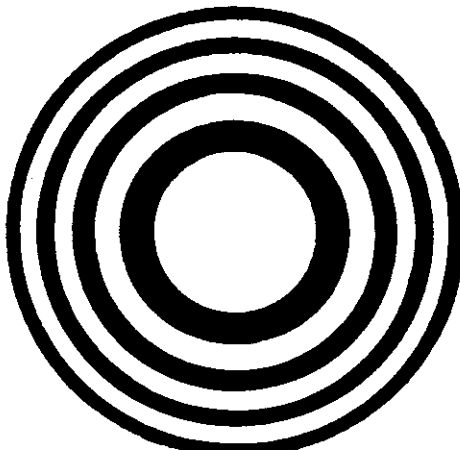
$$I(r) = 0 \text{ falls } \alpha^2 \frac{r+R}{rR} = 2n\lambda, n \in \mathbb{N} \quad (38)$$

$$\text{Ist } \frac{\alpha^2}{\lambda} \frac{r+R}{2rR} \text{ hinreichend gross (z.B. } \sim 10)$$

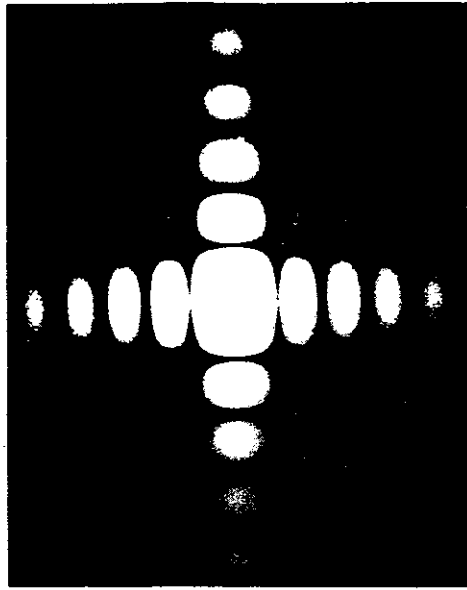
wobei $r, R \gg \alpha \gg \lambda$ sein muss, so kann man durch Abdeckung geeigneter Kreisringzonen die Helligkeit im Aufpunkt ähnlich steigern wie

wenn man eine geeignete Sammellinse in die Öffnung gibt.

\therefore

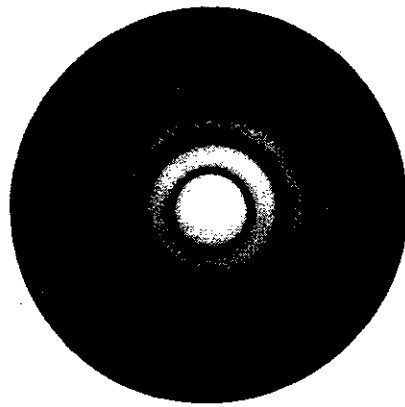


geometrische
Schatten=
grenze?



geometrische
Schatten=
grenze?

Fig. 8.10. FRAUNHOFFER diffraction pattern of a rectangular aperture (the Airy pattern) magnification $50\times$, mercury yellow light $\lambda = 5790 \text{ \AA}$. To show the existence of the weak secondary maxima the central portion was overexposed.
(After H. LIPSON, C. A. TAYLOR, and B. J. THOMPSON.)



$$\therefore \text{z.B.: } \frac{R}{\lambda} = 1000, \frac{r}{\alpha} = \frac{R}{\lambda} = 100$$

Fig. 8.12. FRAUNHOFFER diffraction pattern of a circular aperture (the Airy pattern) 6 mm in diameter, magnification $30\times$, mercury yellow light $\lambda = 5790 \text{ \AA}$. To show the existence of the weak subsidiary maxima, the central portion was overexposed.
(After H. LIPSON, C. A. TAYLOR, and B. J. THOMPSON.)